

石盐的³⁶Cl断代法*

黄 麟

(中国科学院青海盐湖研究所, 西宁 810008)

摘要 讨论了³⁶Cl的成因、³⁶Cl断代法的原理及测试方法。自1987年以来, 应用该方法测得柴达木盆地尕斯库勒湖和大浪滩湖石盐的沉积年龄, 并与¹⁴C、²³⁰Th和古地磁测年法所测得的年龄数据进行对比, 结果均在误差(1δ)范围内相吻合, 表明石盐的³⁶Cl断代法是可行的, 获得的年龄数据是可靠的。

关键词 盐湖 石盐 ³⁶Cl 断代法

近年来, 由于应用加速器质谱技术测定³⁶Cl, 使³⁶Cl断代法得以迅速发展。从目前资料看, 该法是唯一能够直接测定距今200万年以来盐湖沉积物中石盐层年代的方法。Phillips 和 Elmore 建立了陆相蒸发盐的³⁶Cl断代法, 并首次测定了美国的西尔斯湖^[6], 布里斯它湖和大盐湖中石盐的沉积年龄, 其结果是满意的。1987年以来, 中国科学院盐湖研究所与美国南加州大学等单位合作开展了柴达木盆地盐湖沉积物的年代学研究, 应用³⁶Cl断代法测定了尕斯库勒湖和大浪滩盐湖中石盐的沉积年龄, 并与其它定年方法获得的年龄数据进行对比分析研究, 这些数据均在误差范围内一致, 这对中国成盐盆地的年代学研究有着极其重要的意义。

一、³⁶Cl的来源及其断代法原理

1. ³⁶Cl的来源

地表³⁶Cl的来源按其成因可分为大气(宇宙)、表生和深部三种, 近几十年由于核试验也形成了一定量的³⁶Cl。

大气成因的³⁶Cl主要是大气层中的⁴⁰Ar和³⁶Ar与高能量的初级和次级宇宙射线发生散裂反应形成的。Lal等^[4]计算了⁴⁰Ar(X, Xα)³⁶Cl反应形成的³⁶Cl的生成速率为11个原子/m²·s; Onufrier^[5]计算了³⁶Ar(n, p)³⁶Cl反应形成的³⁶Cl的速率为5个原子/m²·s。大气层成因³⁶Cl随着纬度而变化, 其中南北半球中纬度地区的产率较高。大气层成因的³⁶Cl, 约40%在对流层, 60%在平流层。平流层中的³⁶Cl进入对流层, 并与稳定的氯同位素混合, 随降水或尘埃降落到地表。其丰度(即³⁶Cl/Cl比值)的变化范围在(20—1000)×10⁻¹⁵之间, 这种差别主要在于大气中氯的含量有关。大气中的氯主要由海洋与湖泊的水蒸气带入空中, 所以其含量与距离海洋的远近有关, 即³⁶Cl的丰度随着离海洋的距离变化。

* 国家自然科学基金资助, 18975066号; 美国国家自然科学基金资助。
接受日期: 1989年1月16日。

表生成因的³⁶Cl主要是地表岩石和表层海洋水中的³⁹K和⁴⁰Ca与高能量的次级宇宙射线发生散裂反应形成的，即³⁹K(*n*, 2*n*2*p*)³⁶Cl和⁴⁰Ca(*n*, 2*n*3*p*)³⁶Cl反应形成，其次是由³⁵Cl与热中子发生³⁵Cl(*n*, γ)³⁶Cl反应形成的³⁶Cl。表生成因的³⁶Cl的丰度主要与岩石(或水体)的化学组分、纬度、海拔、距地表的深度和岩石暴露时间有关。从理论上计算表生成因的³⁶Cl丰度可达 10000×10^{-15} ，而迄今获得的最大值为 7000×10^{-15} ^[1]。

深部成因的³⁶Cl是指地表以下的岩石和地下水中的³⁵Cl与热中子发生³⁵Cl(*n*, γ)³⁶Cl反应形成的³⁶Cl，其热中子主要来源于铀和钍同位素的自发裂变。所以这种成因的³⁶Cl丰度主要由岩石和水中³⁵Cl、铀和钍的含量而定。现有实测结果的变化范围是 $(1-50) \times 10^{-15}$ 以内，统计结果表明，石灰岩中³⁶Cl的丰度为 11×10^{-15} ，砂岩为 5×10^{-15} ，页岩为 13×10^{-15} ，火成岩为 30×10^{-15} ^[1]。

2. 断代法原理

大气降水、河水、泉水等汇入闭流盆地中，带入了各种成因的³⁶Cl及其稳定同位素。^{Cl}在湖水中的停滞时间与其浓度有关，当湖水蒸发达饱和时，Cl以氯化物的形式沉积下来，³⁶Cl便进入氯化物晶格中，尔后又以 β 衰变逐渐减少。如果我们能测得原始卤水中的 $(^{36}\text{Cl}/\text{Cl})_{\text{初}}$ 和样品的 $(^{36}\text{Cl}/\text{Cl})_{\text{样}}$ 比值，则可用下式求得氯化物的沉积年龄：

$$A(a) = \frac{-1}{\lambda_{36}} \left[\ln \frac{(^{36}\text{Cl}/\text{Cl})_{\text{样}}}{(^{36}\text{Cl}/\text{Cl})_{\text{初}}} \right]$$

其中 A 为氯化物沉积年龄(a)， λ_{36} 为³⁶Cl的衰变常数($2.303 \times 10^{-6}/\text{a}$)。

³⁶Cl断代使用的氯化物样品必须具备两个条件，一是氯化物初始的 $(^{36}\text{Cl}/\text{Cl})_{\text{初}}$ 比值应为常数，或是采用某种方法可获得的时间函数值。 $(^{36}\text{Cl}/\text{Cl})_{\text{初}}$ 比值主要决定于宇宙射线的成分，湖泊的水源或物质来源。现有资料证实近百万年以来宇宙射线的组成和强度没有发生重大改变，仅有某种程度的波动，因此只要湖泊的水源或物质来源在所研究的时间尺度内没有重大改变，这类湖泊的氯化物均能具备这一条件。二是氯化物中³⁶Cl应保持封闭体系，即矿物沉积后没有重结晶现象或与晶间水发生交换作用的原生氯化物。在采集样品时，应根据样品的产状和矿物形态可挑选出适合于³⁶Cl断代法的原生的氯化物样品。

二、测试方法

1. 试剂与材料

影响³⁶Cl测定的核素主要是³⁶S，为提高测定精度，必须将³⁶S的干扰减到最小，故尽量选用含S低的化学试剂和材料。实验用的硝酸、氨水、硝酸钡、硝酸银均为超纯试剂，蒸馏水或去离子水其电导率小于 $1 \times 10^{-6}/\Omega \cdot \text{cm}^2$ 。使用的玻璃器皿或聚四氟乙烯容器必须先在硝酸中蒸煮，后用氨水处理，再用去离子水清洗，直到洗出水的电导率小于 $1 \times 10^{-6}/\Omega \cdot \text{cm}^2$ 为止。

根据Conar等人^[2]测得几种材料中³⁶S的含量，选用纯度为99.95%的钽棒或99.98%的钽棒加工样品柱较好；纯度为99.9999%的金粉或99.98%的钽粉可用作填充料。

为避免空气中氯的干扰，制备³⁶Cl断代样品的实验室应为一个“无氯”的实验室，若

不具备这种条件,可在封闭体系中进行样品制备。

2. 样品制备

将采集的石盐样品粉碎成粗粒,挑选其中结晶较完好,杂质较少,无溶蚀现象的原生石盐3—5g。用去离子水清洗石盐表层、烘干、研磨。再用去离子水将石盐溶解,弃去水不溶物。在水溶液中加入过量约10%的 AgNO_3 溶液,使 Cl^- 全部沉淀为 AgCl ,离心弃去上层清液。为除去硫等杂质,用氨水溶解 AgCl ,弃去不溶物,在溶液中加入过量的 $\text{Ba}(\text{NO}_3)_2$ 溶液,离心,弃去沉淀。在溶液中加入硝酸,使 Cl^- 再次沉淀为 AgCl 。反复进行上述操作,直到获得光谱纯的 AgCl 为止。最后将 AgCl 烘干,称重(AgCl 不少于40mg),密封在黑色容器中,待测定 $^{36}\text{Cl}/\text{Cl}$ 比值用。

本文引用的结果均在美国诺彻斯特大学核子结构研究实验室测定。该实验室采用MP型的串列加速器质谱计(TAMS),加速器使用铯溅射负离子源。自离子源引出的负离子通过偏转磁铁预加速到20keV,然后注入串列加速器,负离子在其中首先被加速,然后通过电荷剥离器转变为正离子,并再次进行加速,将氯离子再次加速到80meV的能量。从加速器引出的离子束经过磁分析器、静电分析器,最后为探测器接受,通过能谱仪进行测定,其测试方法见文献[3]。

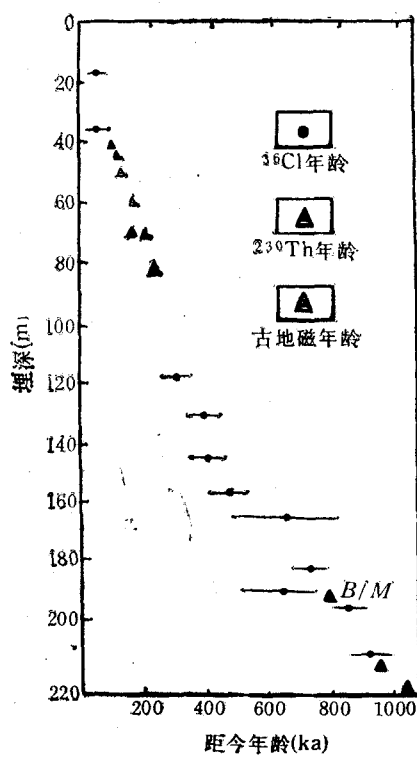


图1 美国加州西尔斯湖KM-3孔中 ^{36}Cl , ^{230}Th 和古地磁年龄数据之比较

Fig. 1 Comparison of ages determined by chlorine-36, ^{230}Th decay, and magnetostratigraphy for sediments collected from KM-3 core, Searles Lake CA, USA

三、应用实例

Phillips 等人^[6]首次应用 ^{36}Cl 断代法测定了美国西尔斯湖中石盐的沉积年龄。表1列出了他们首次测得6个石盐样品中 $^{36}\text{Cl}/\text{Cl}$ 的比值。由图1可见,用 ^{230}Th 断代法、 ^{36}Cl 断代法和古地磁法测定的年龄数据在一个标准误差范围内是吻合的。埋深401.3m处的石盐中 $^{36}\text{Cl}/\text{Cl}$ 比值偏高。据报道该样品中铀、钍含量较高,铀和钍的自发裂变产生的热中子与 ^{35}Cl 发生反应形成一定量的 ^{36}Cl 。这种方式形成 ^{36}Cl 的数量随着铀钍含量和石盐沉积年龄的增大而增加,这部分 $^{36}\text{Cl}/\text{Cl}$ 比值可根据样品中铀、钍的含量和估计的年龄值来对 ^{36}Cl 进行校正。

柴达木盆地尕斯库勒湖盆地河水、湖水和石盐样品中 $^{36}\text{Cl}/\text{Cl}$ 比值见表2。河水取自阿拉尔河下游,距入湖口约2km。阿拉尔河发源于昆仑山,是流入尕斯库勒湖的主要水源,其中 $^{36}\text{Cl}/\text{Cl}$ 值为 $(99 \pm 5) \times 10^{-15}$,是湖中 ^{36}Cl 的主要来源。石盐样品取自CK2605孔。在距地表2.14m处,石盐中 $^{36}\text{Cl}/\text{Cl}$ 值为 $(81 \pm 5) \times 10^{-15}$,该样品的 ^{14}C 年龄为B.P. 5500±250a,推算出该样品的 $(^{36}\text{Cl}/\text{Cl})$ 初值为 $(82 \pm$

表 1 美国西尔斯湖 KM-3 孔石盐中 $^{36}\text{Cl}/\text{Cl}$ 值Tab. 1 The $^{36}\text{Cl}/\text{Cl}$ and ages in Searles Lake core KM-3

编 号	样品埋深 (m)	$^{36}\text{Cl}/\text{Cl} (\times 10^{-15})$	^{36}Cl 年龄 (ka)
1	14.2	55±5	
2	32.5	55±6	10±27
3	190.7	8.9±12	802±50
4	206.5	7.7±13	865±53
5	304.3	6.6±23	922±113
6	401.3	41.6±20	

表 2 柴达木盆地尕斯库勒湖 ZK2605 孔中石盐的 $^{36}\text{Cl}/\text{Cl}$ 比值Tab. 2 The ^{36}Cl and ages in Gasikule Lake core ZK2605

编 号	样 品 名	样 品 埋 深 (m)	$^{36}\text{Cl}/\text{Cl} (\times 10^{-15})$	^{36}Cl 年 龄 (ka)
1	河 水		99±5	
2	湖 沼 卤 水	0.10	99±15	
3	盐 湖 卤 水	0.10	88±11	
4	石 盐	2.14	81±6	5.3±28
5	石 盐	33.46	51±8	206±33
6	石 盐	45.02	53±9	190±38
7	石 盐	60.06	47±13	242±56
8	石 盐	67.27	44±14	271±57
9	石 盐	111.65	29±17	452±81
10	石 盐	113.65	28±7	467±31

表 3 柴达木盆地大浪滩干盐湖 ZK402 孔石盐的 $^{36}\text{Cl}/\text{Cl}$ 值Tab. 3 The ^{36}Cl and ages in Dalangtan Lake core ZK402

编 号	样 品 埋 深 (m)	$^{36}\text{Cl}/\text{Cl} (\times 10^{-15})$	^{36}Cl 年 龄 (ka)
1	表 层	41±22	
2	1.35	40±25	~10±37
3	38.23	30±13	136±49
4	58.65	26±19	198±56
5	102.8	18±22	358±110
6	421.5	1.7±95	1384±445

5) $\times 10^{-15}$, 用这个“初值”来计算其它较老样品的沉积年龄。CK2605 孔的上部岩芯测得了 ^{14}C 和 ^{230}Th 年龄数据, 全部岩芯均有详细的古地磁资料, 从图 2 中看出这些数据的相关性是很好的。

大浪滩盐湖位于柴达木盆地西部, 是该盆地中石盐沉积最厚的干盐湖, 其石盐层的累计厚度达 1000m 以上。大浪滩 ZK402 孔中石盐中的 $^{36}\text{Cl}/\text{Cl}$ 比值见表 3。该孔上部岩芯有 ^{230}Th 年龄数据, 全部岩芯有详细的古地磁数据, 由图 3 可见这些数据相关性较好。

上述实例表明应用 TAMS 法能获得精确可靠的 ^{36}Cl 丰度值, 证明应用 ^{36}Cl 断代法测定石盐的沉积年龄是可行的, 获得的数据是可靠的。

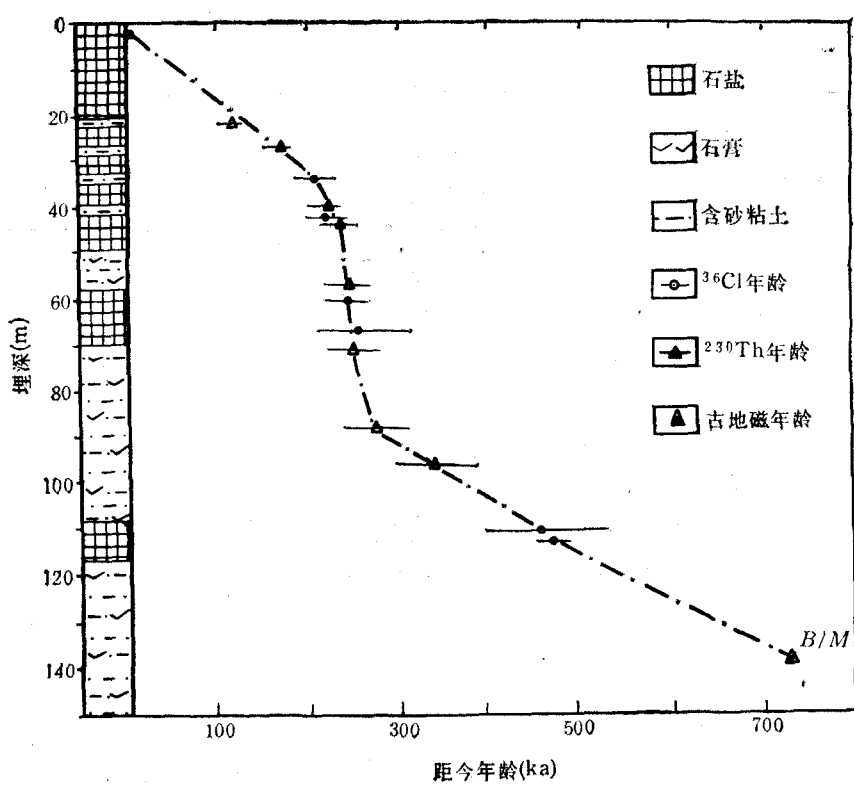


图2 柴达木盆地尕斯库勒湖 ZK2605 孔中 ^{36}Cl , ^{230}Th 和古地磁年龄数据之比较
 Fig. 2 Comparison of ages determined by chlorine-36, U-series decay, and magnetostratigraphy for sediments collected from ZK2605 core, Gasikule Lake in Qaidam Basin.

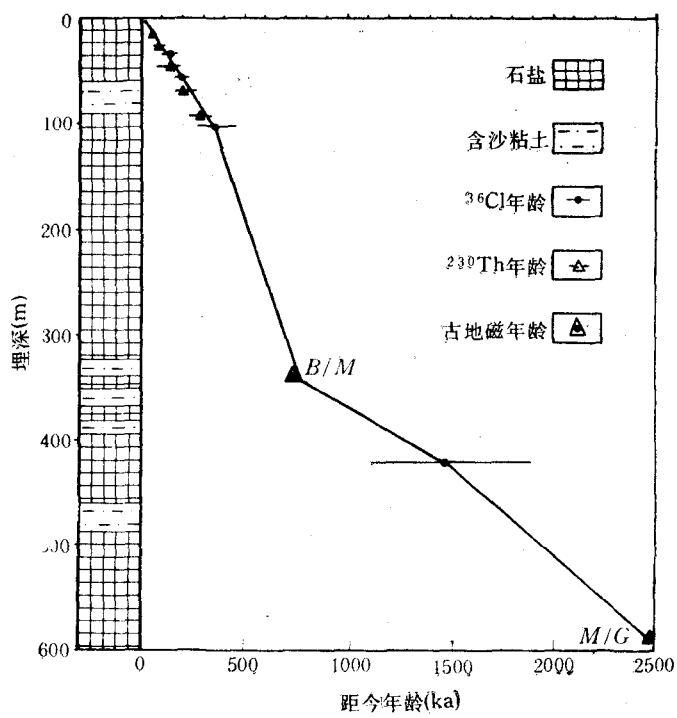


图3 柴达木盆地大浪滩湖 ZK402 孔中 ^{36}Cl , ^{230}Th 和古地磁年龄数据比较
 Fig. 3 Comparison of ages determined by chlorine-36, ^{230}Th decay, and magnetostratigraphy for sediments collected from ZK402 core, Dalangtan Lake in Qaidam Basin

参 考 文 献

- [1] Bentley, H. W. et al., 1986, Handbook of environmental isotope, *Geochemistry*, 1G: 422—475.
- [2] Conar, N. J. et al., 1986, The chemical preparation of AgCl for measuring ³⁶Cl in polar ice with accelerator mass spectrometry, *Radiocarbon*, 28(2A): 556—560.
- [3] Elmore, D. et al., 1984, The rochester tandem accelerator spectrometry program, *Nucl. Instru. Meth. in Phys. Res.*, B5: 109—116.
- [4] Lal, D. 1967, Cosmic ray produced radioactivity in the earth, *Handbuch der physik*, 462: 551—612.
- [5] Onufriev, V. G., 1986, Formation of chlorine-36 in nature, *Geokhim. Isotop. Metody Geol.*, 364—369.
- [6] Phillips, F. M. et al., 1983, Chlorine-36 dating of saline sediments: Preliminary results from Seales Lake, California, *Science*, 222: 925—927.
- [7] Phillips, F. M. et al., 1986, A numerical model for simulating the isotopic evolution of closed-basin lakes. *J. Hydrol.*, 85: 73—86.

METHOD FOR CHLORINE-36 DATING OF HALITE

Huang Qi

(Institute of Salt Lakes, Academia Sinica, Xining 810008)

ABSTRACT

Chlorine-36 production, principles and experimental method of ³⁶Cl dating are briefly described. The ages of the halite in sediment samples from Gasikule Lake and Dalangtan Lake, as calculated from the ³⁶Cl/Cl ratios in the sediment, were generally concordant with those obtained by ¹⁴⁰C, ²³⁰Th and magnetostratigraphic techniques. This confirms the constancy of the chlorine input ratio over the last million years and implies that ³⁶Cl dating can be used for accurate dating of halite sediments.

Key words Saline Lake, Halite, Chlorine-36 dating.